TABELLA 12.1

Coefficienti della Previsione dell'Altezza adulta (3-variabili)

Applicabile a tutti i maschi sotto gli 11,0 anni e sopra gli 11,0 anni con nessun incremento in altezza disponibile

Età anni	Altezza (cm)	Età cronologica (anni)	Età ossea (RUS) (anni)	Costanti	DS. Residui (cm)	r
5.0-	+1.28	-7.5	-0.12	75)	4.7	0.82
5.5-	+1.25	-7.1	-0.13	75)	oo allee, compare	
7 • 0 –	+1.24	-6.6	-0.32	73)	4.6	0.82
7.5-	+1.28	-6.2	-0.67	69)	de saluta estat	8 1158 781
3.0-	+1.30	-5.8	-1.00	66)	en C.C. extends	0.87
8 · 5 –	+1.27	-5.4	-1.25	68)	4.1	0.87
9.0-	+1.16	-5.0	-1.30	79)	HELE SERVICES	0.97
9.5-	+1.13	-4.7	-1.25	80)	ala 4·1	0.87
10.0-	+1.12	-4.4	-1.27	79)	(1)	0.97
10.5 –	+1.12	-4.0	-1.50	77)	4.0	0.87
11.0-	+1.11	-3.6	-1.85	78)	2 0	0.00
11.5 –	+1.09	-3.2	-2.37	82)	3.8	0.89
12.0-	+1.07	-2.8	-2.90	86)	2.9	0.89
12.5 –	+1.04	-2.4	-3.45	92)	3.8	0.89
13.0-	+1.01	-2.1	-3.90	99)	3.7	0.89
13.5 –	+0.98	-1.7	-4.25	104)	3.7	0.09
14.0-	+0.94	-1.4	-4.42	107)	3.5	0.90
14.5 –	+0.87	-1.0	-4.17	108)	3.5	0.90
15.0-	+0.81	-0.8	-3.65	109)	3.2	0.91
15.5-	+0.80	-0.6	-3.07	98)	3.2	0.91
16.0-	+0.85	-0.4	-2.65	80)	2.9	0.93
16.5 –	+0.90	-0.3	-2.27	64)	2.9	0.93
17.0-	+0.94	-0.2	-2.02	51)	2.0	0.97
17.5 –	+0.96	-0.1	-1.90	43)	2.0	0.97
18.0-	+0.98	-0.0	-1.90	38)		
18.5-	+0.98	-0.0	-1.90	37)	1.4	0.99

TABELLA 13.1A

Coefficienti della Previsione dell'Altezza adulta (3-variabili)

Femmine: Pre-menarcali

Applicabile a tutte le femmine sotto gli 8,0 ed alle ragazze oltre gli 8,0 anni, senza la disponibilità dell'incremento in altezza

Età (anni)	Altezza (cm)	Età cronologica (anni)	Età ossea (RUS) (anni)	Costanti	DS. Residua (cm)	r
5.0-	+0.89	-3.7	-0.80	90)	2 7	
5.5-	+0.89	-3.5	-1.00	90)	3.7	0.78
6.0-	+0.89	-3.3	-1.15	89)	100	
6.5-	+0.89	-3.1	-1.25	89)	3.5	0.80
7.0-	+0.89	-2.9	-1.33	87)		
7.5-	+0.89	-2.6	-1.50	85)	3.5	0.82
8.0-	+0.89	-2.2	-1.73	84)	seation 3	
8.5-	+0.90	-1.9	-2.00	82	3.4	0.85
9.0-	+0.92	-1.7	-2.40	81)	3.6	0.85
9.5-	+0.92	-1.6	-2.83	83)	Life William	0.8)
10.0-	+0.91	-1.6	-3.03	86)	3.3	0.87
10.5 –	+0.91	-1.7	-3.13	88)	3-3	0.87
11.0-	+0.91	-1.7	-3.33	90)		
11.5-	+0.93	-1.7	-3.68	91) 3.0	3.0	0.90
12.0-	+0.96	-1.7	-3.90	89)	3.0	0.90
12.5-	+0.96	-1.6	-3.55	84)	5.0	0.90
13.0-	+0.94	-1.4	-3.15	79)	2.9	0.94
13.5-	+0.92	-1.0	-3.43	79)		
14.0-	+0.90	-0.6	-3.65	79	2.4	0.05
14.5-	+0.88	-0.1	-3.88	79)	2.4	0.95

)

TABELLA 13.1C

Coefficienti di Previsione dell'altezza adulta (3-variabili più l'età del menarca)

Femmine - Post-menarcali

Applicabile a tutti le femmine che non abbiano disponibile un incremento in altezza, ma la cui età del menarca è conosciuta

Età (anni)	Altezza (cm)	Età cronologica (anni)	Età ossea (RUS) (anni)	Età di Menarca (anni)	Costanti	DS. Residua (cm)	100 r 1
DHS TANK IS	19 Liv (6155)	ON PARKAGENES	Tabliff and	Indian indian			
11.5 –	+1.05	-4.4	-0.12	+2.0	+29	1.9	0.96
12.0 -	+1.02	-3.5	-0.23	+1.6	+29)	1.7	0.00
12.5 –	+0.98	-2.8	-0.60	+1.4	+34	eroval a oigg	0.96
13.0-	+1.01	$-2\cdot 2$	-0.90	+1.3	+28)	log at tana c. i 'ogo spietiko	
13 · 5 –	+1.05	-1.5	-0.68	+1.4	+ 7	1.7	0.98
14.0 –	+1.09	-0.8	-0.47	-1.3	-11)	126822 198	10° 35; 3.10
14.5 –	+1.12	-0.4	-0.48	+1.2	-20	1.2	0.99
5 · 0 -	+1.08	-0.2	-0.65	+0.7	- 8)		
15 · 5 –	+1.02	-0.0	-1.05	+0.1	+ 12	0.9	0.99
16.0 –	+1.00	-0.0	-1.50	0.0	+24)		
16.5 –	+1.03	-0.0	-2.00	0.0	+29	1.1	0.99

TABELLA 13.2A

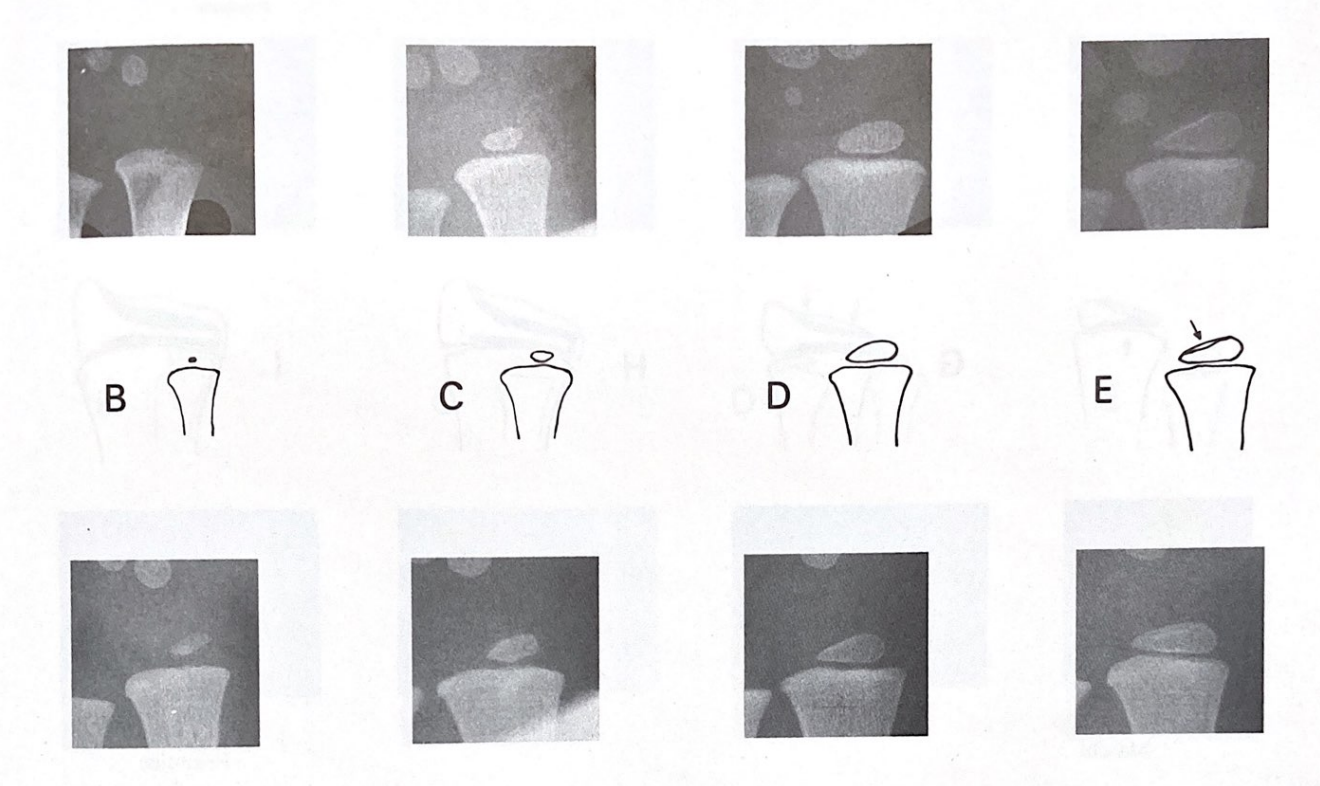
Coefficienti di Previsione dell'altezza adulta (4-variabili)

Femmine-Pre-menarcali

Applicabile a femmine di 8.0 anni ed oltre per le quali è disponibile l'incremento di altezza ma non quello dell'età ossea

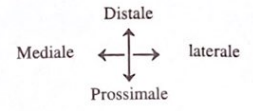
Età (anni)	Altezza (cm)	Età cronolo- gica(anni)		Incremento in altezza durante l'anno precedente *(cm)	Costanti	DS. Residui (cm)	r
8.0-	+0.80	-3.4	-1.80	-1.0	99)		
8.5-	+0.90	-3.2	-1.95	-1.0	98	3.2	0.87
9.0-	+0.95	-2.9	-2.15	-2.0	96)		
9.5-	+0.97	-2.7	-2.30	-1.8	92	3.2	0.87
10.0-	+0.94	$-2 \cdot 4$	-2.35	-1.6	92)		
10.5 –	+0.89	-2.2	$-2 \cdot 40$	-1.3	95	3.2	0.87
11.0-	+0.91	-1.9	-2.45	-1.3	90)		
11.5-	+0.94	-1.7	-2.90	-1.3	88	2.9	0.92
12.0-	+0.96	-1.4	-3.55	-0.9	86)		
12.5-	+0.98	-1.2	-3.80	-0.4	80	3.0	0.91

Radio



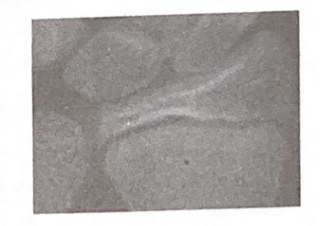
Punteggio Maschi		en e		
TT 10	DIIC	Stadio B	TW2	RUS
TW2 15	RUS 16	(i) Il nucleo è appena visibile come un deposito singolo di calcio, o più raramente come depositi multipli. Il bordo è mal definito.	17	23
		St. N. C	TW2	RUS
TW2 17	RUS 21	Stadio C (i) Il nucleo è distinto in appartenenza e di forma ovale con un bordo liscio e continuo	19	30
TENLO	DIIG	Stadio D	TW2	RUS
TW2 21	RUS 30	Stadio D (i) Il diametro massimo è metà o più della larghezza della metafisi (ii)L'epifisi si è allargata soprattutto lateralmente, cosicchè questa porzione è più spessa e più arrotondata, mentre la porzione mediana è più affusolata.	25	44
		(iii)Il terzo centrale della superfice prossimale è piatto e leggermente ispessito e la distanza tra esso e la metafisi del ritardo si è ristretta a circa 1 mm.		
TWO	RUS	Stadio E	TW2	RUS
TW2 27	39	(i) Una linea bianca ispessita è comparsa appena dentro il bordo distale dell'epi- fisi; essa rappresenta il bordo della superfice palmare, e l'osso appena compar- so distalmente ad esso rappresenta il bordo della sueprficie distale.	33	56

Radio



























Punteggio Maschi

48

77

106

Punteggio Femmine

TW2 RUS Stadio F

TW2 RUS

59 (i) Il bordo prossimale dell'epifisi è ora differenziato in superfici palmari e dorsali, 54 la superficie palmare è visibile come una larga linea bianca irregolarmenre ispessita al bordo prossimale dell'epifisi.

(ii)Dall'ultimo stadio, entrambe le estremità dell'epifisi, ma particolarmente la mediana, sono cresciute all'infuori e prossimalmente in modo tale che il bordo prossimale ora si adatta alla forma della metafisi lungo la maggior parte della sua lunghezza.

TW2 RUS Stadio G

TW2 RUS

87 (i) La superficie dorsale ha le estremità articolari dello scafoide e del semilunare 85 unite in una piccola gobba.

(ii) Il bordo mediano dell'epifisi ha sviluppato una superficie palmare ed una dorsale per l'articolazione con l'epifisi ulnare; sia la superficie palmare che la distale potrebbero essere quelle che proiettano medialmente, a seconda della posizione del polso.

(iii) Il bordo prossimale dell'epifisi è ora leggermente concavo.

TW2 RUS Studio H

V2 RUS

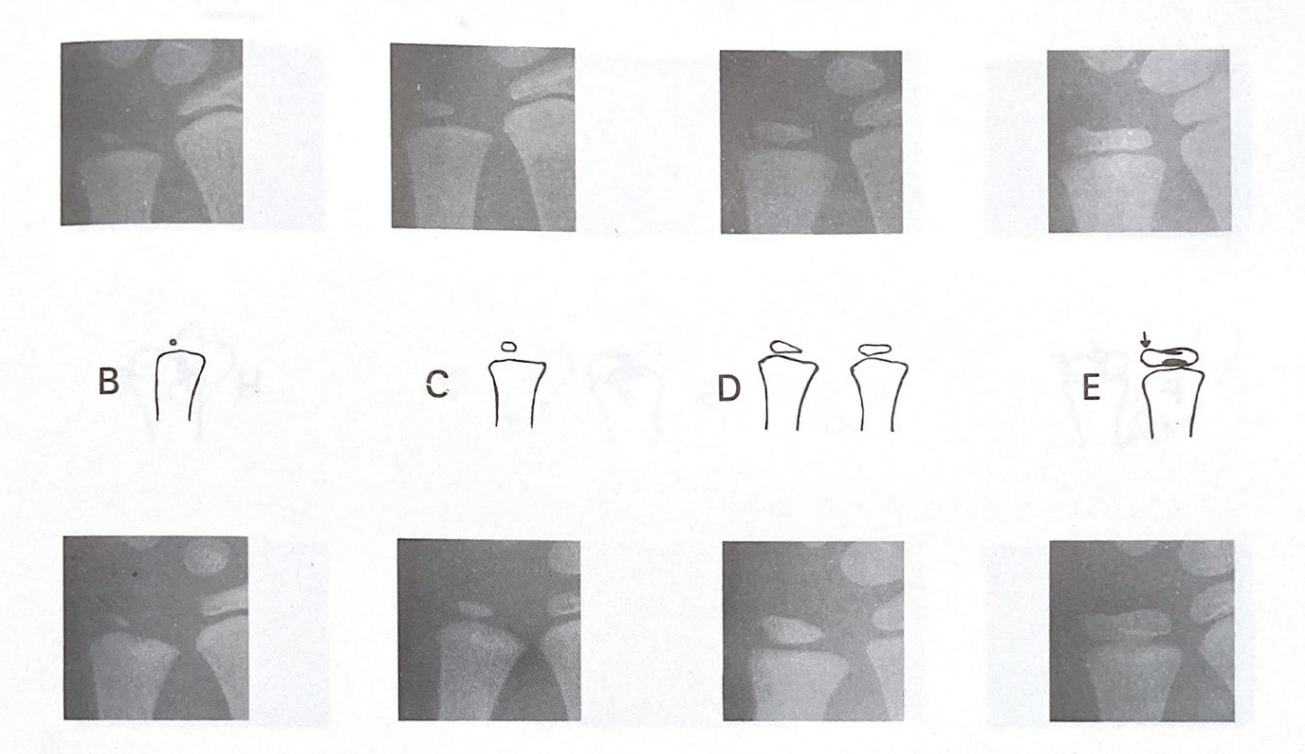
96 138 (i) L'epifisi ora incappuccia la metafisi su uno (generalmente il mediano) o sui due 99 160 lati.

TW2 RUS Stadio I

W2 RUS 06 218

213 (i) La fusione dell'epifisi e della metafisi è cominciata. Una linea può essere ancora 106 visibile composta in parte di aree nere dove rimane la cartilagine epifeseale, ed in parte di aree bianche dense in cui la fusione si sta compeltando; o la linea potrebbe essere sparita.

Ulna

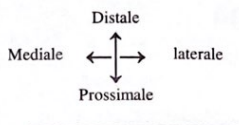


Punteggio Maschi					
TW2	RUS	Stadio B	TW2 F	RUS	
22	27	(i) Il nucleo è appena visibile come un deposito singolo di calcio, o piú raramente come depositi multipli. Il bordo è mal definito.	22	30	
TW2	RUS	Stadio C	TW2	RUS	
26	30	(i) Il nucleo è distinto in apparenza, con un bordo liscio e continuo.	26	33	
TW2	RUS	Stadio D	TW2	RUS	
30	32	(i) Il diametro massimo è di metà o più della larghezza della metafisi. (ii)L'epifisi è ora allungata in modo tale che il diametro trasverso medio-laterale è considerevolmente maggiore del diametro longitudinale disto-prossimale. (iii)I bordi distali e prossimali sono entrambi appiattiti, benchè non necessariamente paralleli, in modo tale che l'epifisi è generalmente a forma di cuneo con la punta rivolta lateralmente.		37	
TW2	RUS	Stadio E	TW2	RUs	
39	40	(i) Il processo stiloideo è ora visibile come una proiezione distinta sebbene piccola.	39	45	73

Ulna





















Punteggio
Maschi

Punteggio Femmine

1 44 7	KUS	Statio 1
56	58	(i) La testa dell'ulna è ora distintamente definita e più densa del processo stiloideo.
		(La superfice mediale generalmente appare come una linea bianca ispessita che si
		differenzia dal processo stiloideo, e c'è una concavità del bordo prossimale e/o di-
		stale dell'epifisi dove la testa e lo stiloide si incontrano.

TW2 RUS o stiloideo. 60 74

(ii) Il bordo adiacente all'epifisi radiale è appiattiti.

TW2 RUS StadioG

W2 RUS

73 107 (i) L'epifisi è ora larga quanto la metafisi.

73 118

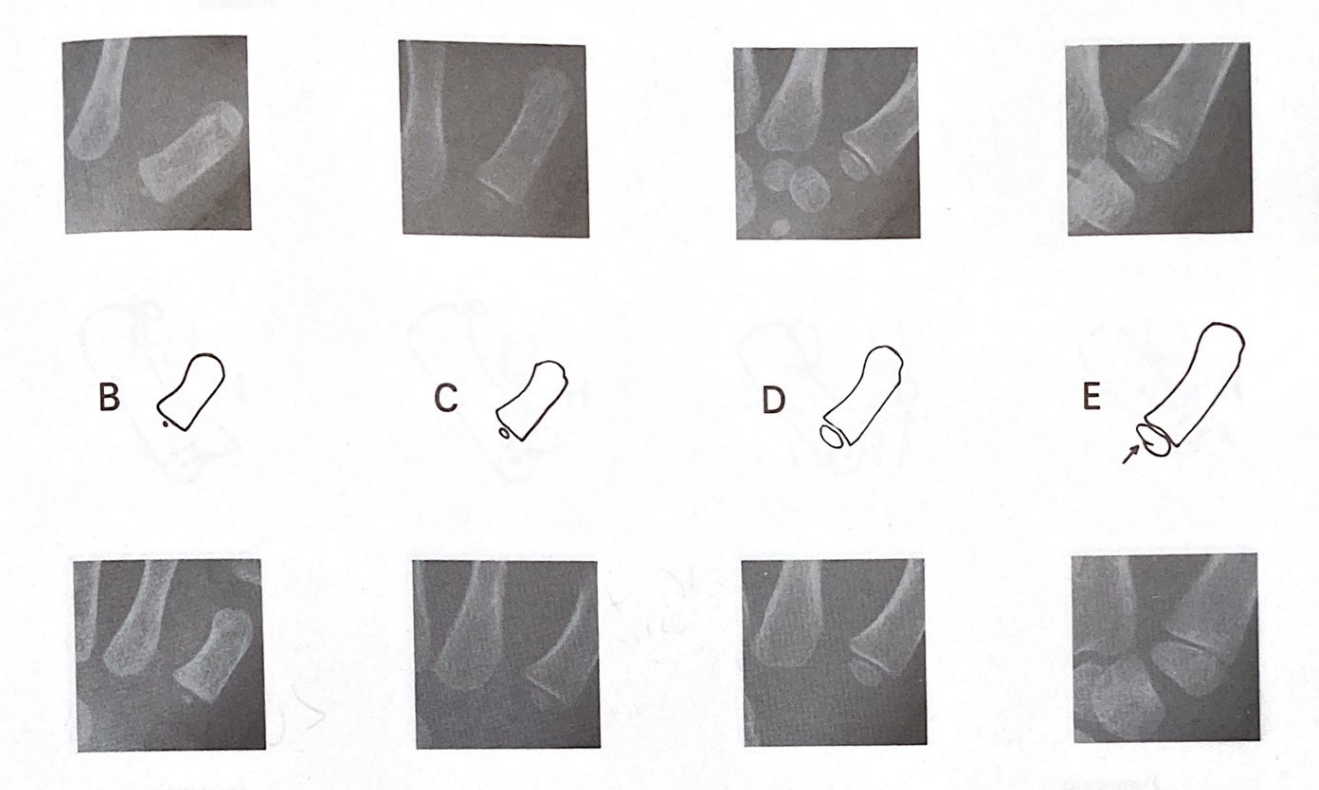
(ii) Il bordo prossimale dell'epifisi ed il bordo distale della metafisi si sovrappongono nel loro terzo centrale.

TW2 RUS Stadio H

W2 RUS 0 173

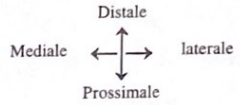
181 (i) La fusione dell'epifisi e delle metafisi è cominciata. La linea tra l'epifisi e la 80 metafisi potrebbe essere ancora visibile, composta in parte di aree nere, generalmente sul lato stiloideo dove rimane la cartilagine epifisaria, e in parte di aree bianche dense dove la fusione si sta completando; oppure la linea potrebbe essere sparita.

Primo Metacarpo



Punteggio Maschi			Punteggio Femmine		
TOTAL	DITE	Stadio B	TW2	RUS	
TW2 4	RUS 6	(i) Il nucleo è appena visibile come un deposito singolo di calcio, o più raramente come depositi multipli. Il bordo è mal definito.	5	8	
10000	D.110	Out 1:- C	TW2	RUS	
TW2 5	RUS 9	Stadio C (i) L'epifisi è distinta in apparenza e di forma ovale, con un b ordo liscio e continuo.	6	12	
10.15		G. II. D	TW2	RUS	
TW2	RUS 14	Stadio D (i) Il diametro massimo è metà o più della larghezza della metafisi	11	18	
TIMA	DIIC	Stadio E	TW2	RUS	
TW2	RUS		18	24	
19	21	 (i) L'epifisi è larga qaunto la metafisi (ii) È presente una concavità sul bordo prossimale. (essa è dovuta alla prima comparsa delle superfici palmari e dorsali dell'epifis, benchè le superfici non comparsa distinta) 	i 1		75
		siano ancora distinte).			

Primo Metacarpo



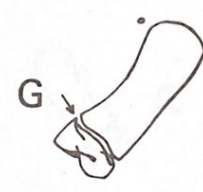
























Punteggio Maschi

Punteggio Femmine

TW2

RUS

RUS Stadio F TW2

26 La differenziazione della superficie prossimale nelle porzioni palmari e dorsali è 24 ne adiacente dell'osso del trapezio.

24 ora distinta è si può evidenziare l'estensione completa della superficie dorsale; a causa della rotazione del pollice sulla pellicola, queste superfici appaiono laterodorsali e medio-palmari. La sella formata da queste superfici si conforma al margi-(Verso la fine di questo stadio il bordo mediano dell'epifisi cambia forma da un bordo arrotondato ad uno piatto distinto).

TW2 RUS Stadio G

28

30

TW2 RUS

36 (i) l'epifisi incappuccia la metafisi su uno o su tutti i due lati; l'incappucciamento 29 si può vedere meglio e generalmente sul margine mediale piuttosto che sul margine laterale in conseguenza della rotazione del pollice nel posizionare la mano

43

TW2 RUS Stadio H TW2 RUS

49 (i) La fusione, dell'epifisi e della metafisi è cominciata. Si vede ancora una linea, 31 composta in parte da aree nere dove rimane la cartilagine epifisaria ed in parte di arre bianche e dense in cui la fusione si è completata.

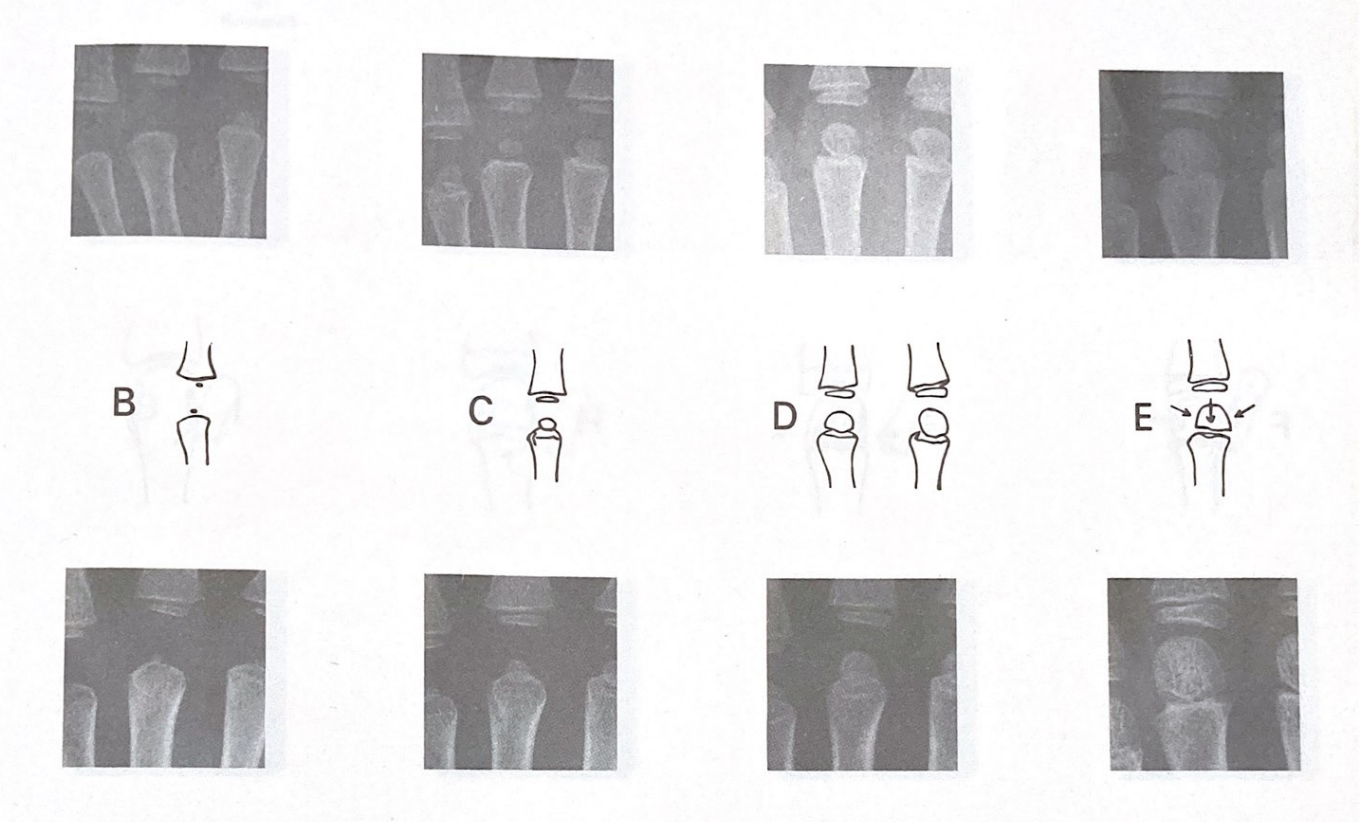
53

TW2 RUS Stadio I

RUS TW2

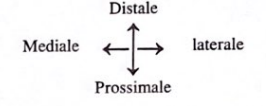
32 67 (i) La fusione dell'epifisi e della metafisi è completa. (Nella maggior parte delle 33 sua lunghezza la line adi fusione è completamente sparita, ma si possono ancora vedere alcune rimanenze ispessite).

Terzo (III) e Quinto (V) Metacapo



Punteggio		The field examine molecular to constitutions and constitution of the constitution of t	Punte			
Mas	schi		Femm	ine		
TW2 III 3 V 3	RUS 4 4	Stadio B (i) Il nucleo è appena visibile come un deposito singolo di calcio, o più raramente come depositi multipli. Il bordo è mal definito.	TW2 3 3	RUS 5 6	S III V	
TW2	RUS	Stadio C	TW2	RU		
III 4	5	(i) L'epifisi è distinta in apparenza e arrotonjdata nella forma con un bordo	5	8	IIII	
V 3	6	liscio e continuo.	4	9	V	
TW2	RUS	Stadio D	TW2	RU	S	
III 6	9	(i) Il diametro trasverso è metà o più della lunghezza della metafisi.	7	12	III	
V 6	9	(i) It diametro trasverse e mem e pri	7	12	V	
T11/2	RUS	Stadio E	TW2	RU	S	
TW2		(i) Dall'ultimo stadio la forma dell'epifisi è cambiata da ovale o semicerchio	11	16	III	
III 10 V 12	12 14	a spada o unghia. Ciò è successo in virtù del fatto che i bordi laterali, mediali	12	17	V	
v 12	14	e prossimali dell'epifisi stanno diventano distinti l'uno dall'altro e identificabili dagli angoli che si vedono alla loro giunzione.				77

Terzo (III) e Quinto (V) Metacarpo



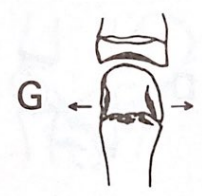


















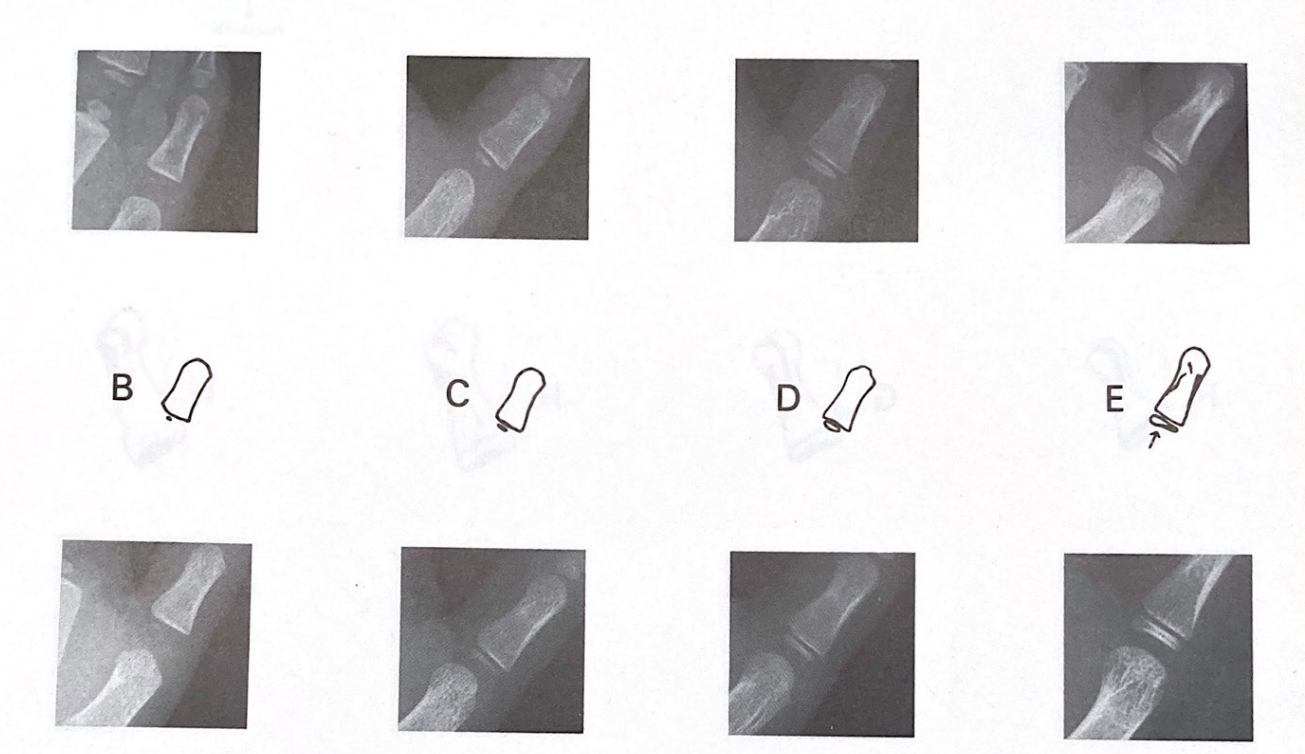






	Punteggio Maschi					
	TW2	RUS	Stadio F	TW2	RU	S
II	1 16	19	(i) Ora è possibile in una buona lastra, distinguere la superfice palmare dell'epi-	17	23	III
V	17	18	fisi da quella dorsale. Dall'ultimo stadio i bordi mediali e/o laterali della super-	18	23	V
			ficie dorsale sono cresciuti all'infuori sovrapponendosi alla superficie palmare			
			dell'epifisi. I contorni dei bordi palmari ora appaiono come linee bianche longi-			
			tudinali ispessite.			
			Shall is a company of the control of	- 100	1000	S. Y.
	TW2	RUS	Stadio G	TW2	RU	S
III	22	31	(i) L'epifisi è larga quanto la metafisi o di più.	23	37	III
V	21	29	(Questo stadio potrebbe sembrare equivalente allo stadio dell'incappucciamento			
			nell'epifisi delle falangi).			
	TW2	RUS	Studio H	TW2	RU	S
III	23	43	(i) La fusione dell'epifisi e della metafisi è cominciata. La linea nera di cartila-	24	47	III
V	23	43	gine si estende per meno di tre quarti della larghezza dell'osso, ma non è completamente obliterata.	24	48	V
	TW2	RUS	Stadio I	TW2	RU	S
Ш		52	(i) La fusione dell'epifisi e della metafisi è completa. (Nella maggior parte della	26	53	Ш
V	52	52	sua lunghezza la linea di fusione è completamente sparita, ma si possono ancora	25	52	V
,	32	32	vedere alcune rimanenze ispessite).	23	34	٧

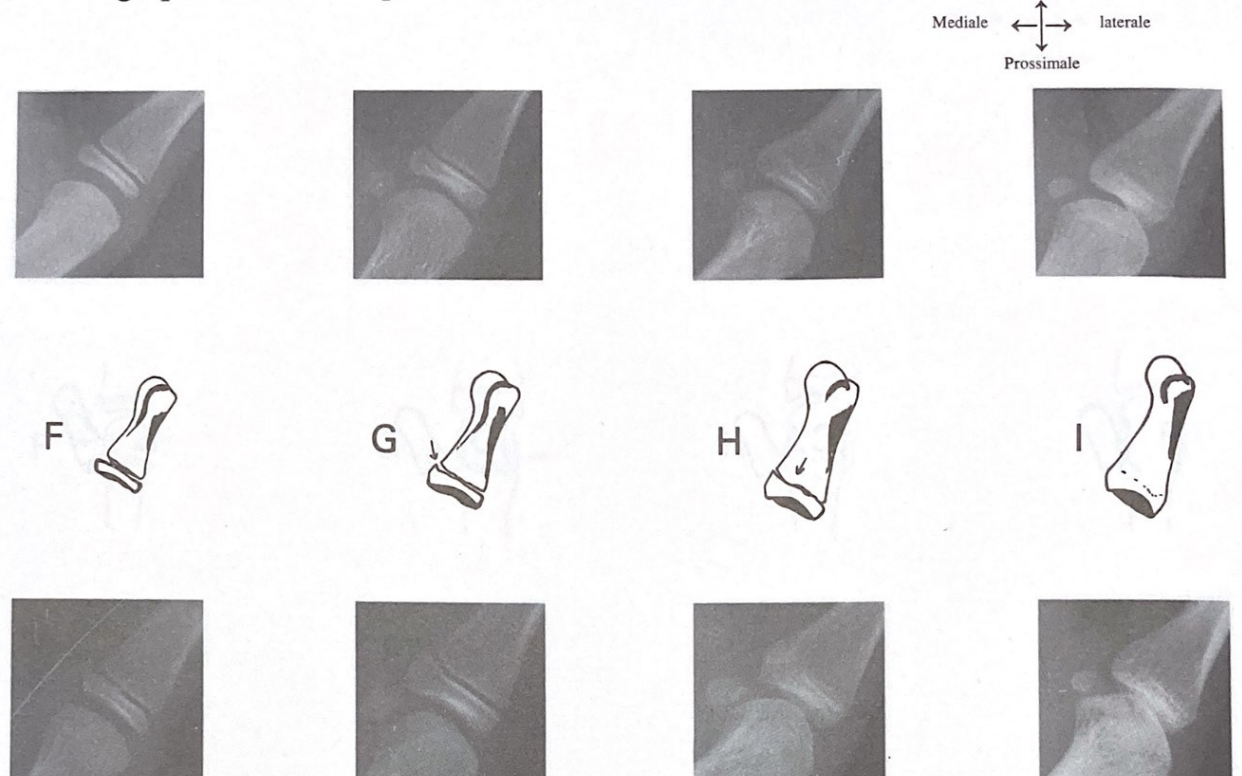
Falange prossimale del pollice



Punteggio Maschi				Punteggio Femmine	
TW2 4	RUS 7	Stadio B (i) Il nucleo è appena visibile come un deposito singolo di calcio o più raramente come depositi multipli. Il margine è mal definito.	TW2 5	RUS 9	
TW2 5	RUS 8	Stadio C (i) Il nucleo è distinto in appartenenza ed a forma di disco, con un bordo liscio e continuo. (Si possono trovare nuclei multipli i cui diametri massimi sommati superano la metà della lunghezza della metafisi; dovrebbero comunque aver assegnato uno stadio C).		RUS 11	
TW2 8	RUS 11	Stadio D (i) Il diametro massimo è metà o più della larghezza della metafisi.	TW2	RUS 14	
TW2 15	RUS 17	Stadio E (i) Il margine prossimale è concavo e generalmente ispessito. (ii) Il lato mediale è più lungo del laterale, così da dare l'apparenza di un cuneo.	TW2 14	RUS 20	79

Falange prossimale del pollice

80



Distale

Punteggio Maschi		facility described the second of the property		
TW2	RUS	Stadio F (i) L'epifisi è più larga della metafisi, soprattutto sul lato mediale e segue da vicino la sua forma.	TW2	RUS
23	26		24	31
TW2	RUS	Stadio G (i) L'epifisi incappuccia la metafisi. (L'incapucciamento si può vedere meglio sul lato mediale che laterale).	TW2	RUS
28	38		29	44
TW2	RUS	Studio H (i) Comincia la fusione dell'epifisi e della metafisi.	TW2	RUS
30	52		30	56
TW2 32	RUS 67	Stadio I (i) La fusione dell'epifisi e della metafisi è completa. (Nella maggior parte della sua lunghezza la linea di fusione è completamente sparita, ma si possono ancora osservare alcune rimanenze ispessite).	TW2 32	RUS 67

Falangi prossimali del terzo (III) e quinto (V) dito









вЏ

с Ц

D U

E

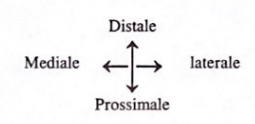








	Punteggio Maschi		F		
Masch					
TW2	RUS	Stadio B	TW2	RUS	
III 3	4	(i) Il nucleo è appena visibile come un deposito singolo di calcio o più raramente	4	5 III	
V 3	4	come depositi multipli. Il margine è mal definito.	4	6 V	
	DIIG	Statio C	TW2	RUS	
TW2	RUS	Stadio C (i) Il nucleo è distinto in apparenza ed a forma di disco con un bordo continuo	4	7 III	
III 4	4		4	7 V	
V 3	5	liscio.			
TW2	RUS	Stadio D	TW2	RUS	
Ш 6	9	(i) L'epifisi è metà o più della larghezza della metafisi.	7	12 III	
V 6	9		7	12 V	
	DIIIG	Gu din E	TW2	RUS	
TW2	RUS	Stadio E (i) Il margine prossimale dell'epifisi è concavo e chiaramente ispessito.	13	19 III	
III 13	15	(1) Il margine prossinate dell'epitisi è concurs è cinaramente repessive	13	18 V	81
V 13	15				





















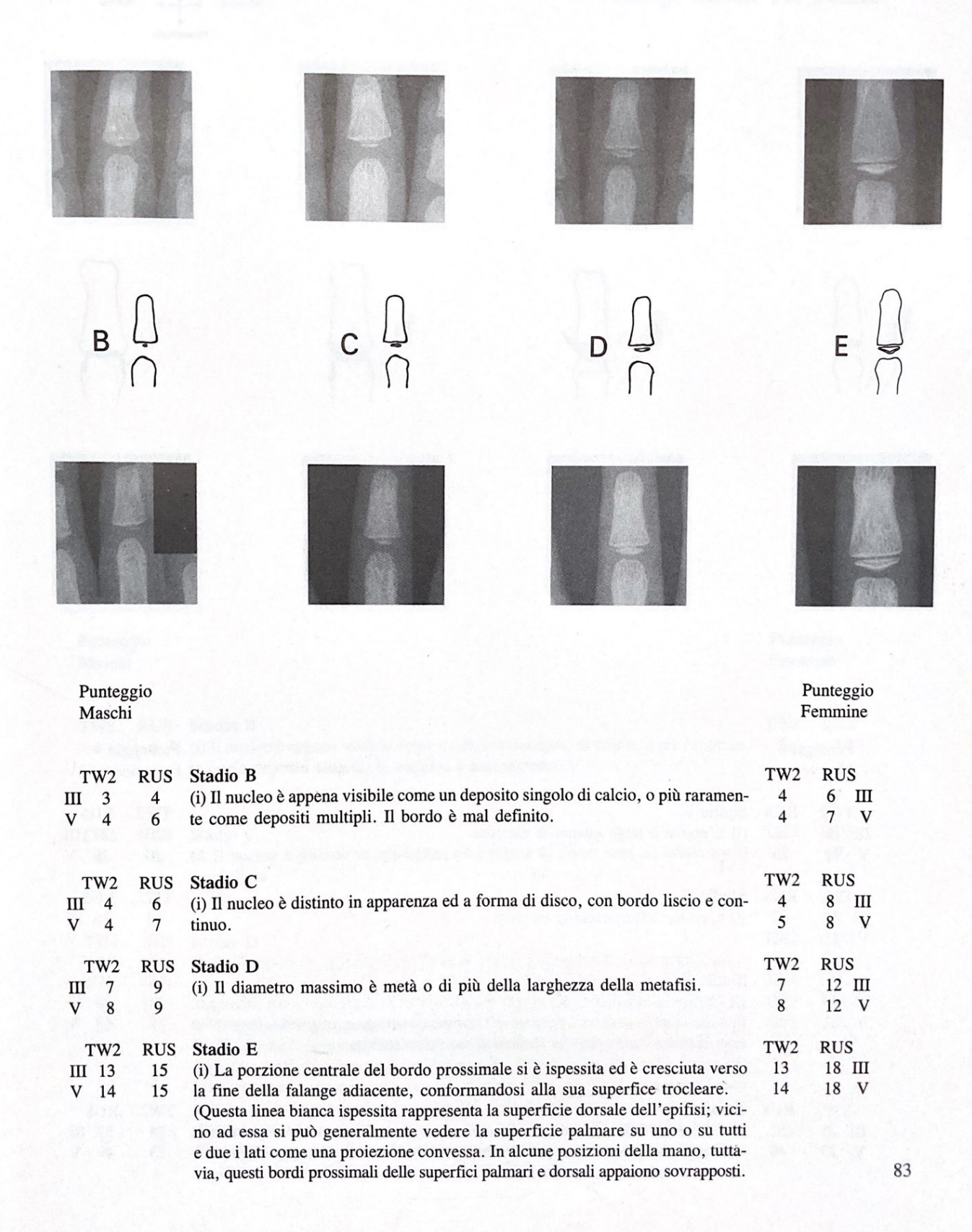




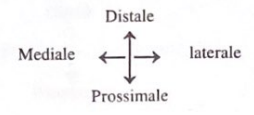


Punteggio Maschi				Punteggio Femmine		
TW2 III 20 V 19	RUS 23 21	Stadio F (i) L'epifisi è larga come la metafisi e segue da vicino la sua forma benchè non incappucci ancora i bordi.	TW2 20 19	RUS 27 III 26 V		
TW2 III 23 V 22	RUS 31 30	Stadio G (i) L'epifisi incappuccia la metafisi.	TW2 24 23	RUS 37 III 35 V		
TW2 III 24 V 23	RUS 40 39	Stadio H (i) Comincia la fusione dell'epifisi e della metafisi. Si può ancora vedere una linea composta in parte da aree nere, dove rimane la cartilagine epifisaria e in parte di aree bianche dense dove la fusione si sta completando.	TW2 25 24	RUS 44 III 42 V		
TW2 III 26 V 25	RUS 53 51	Stadio I (i) La fusione dell'epifisi e della metafisi è completa. (Nella maggior parte della sua lunghezza la linea di fusione è completamente sparita, ma possono ancora essere visibili alcune rimanenze ispessite).	TW2 26 25	RUS 54 III 51 V		

Falangi medie del terzo 3 (III) e del quinto (V) dito



Falangi medie del terzo (III) e del quinto (V) dito





















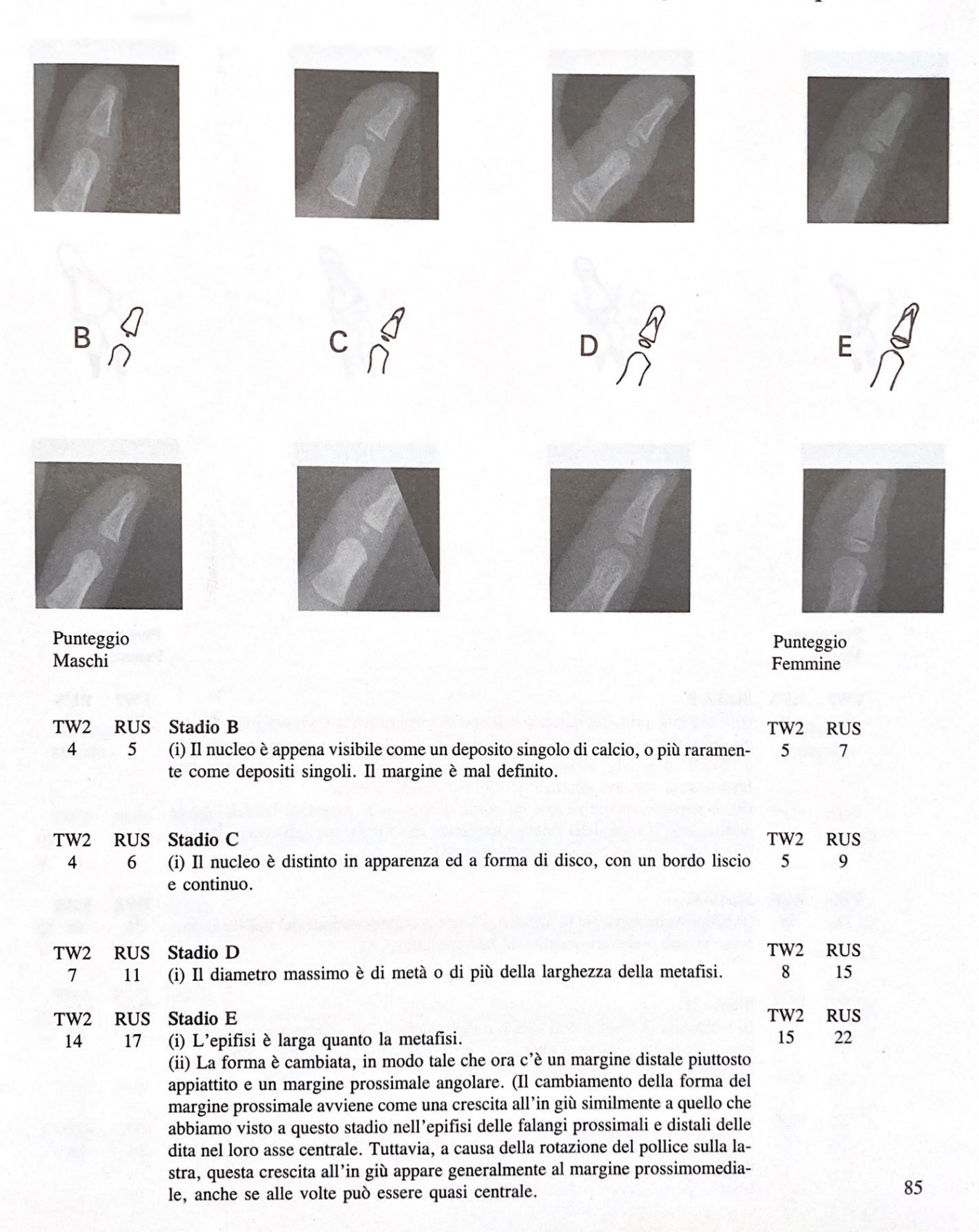




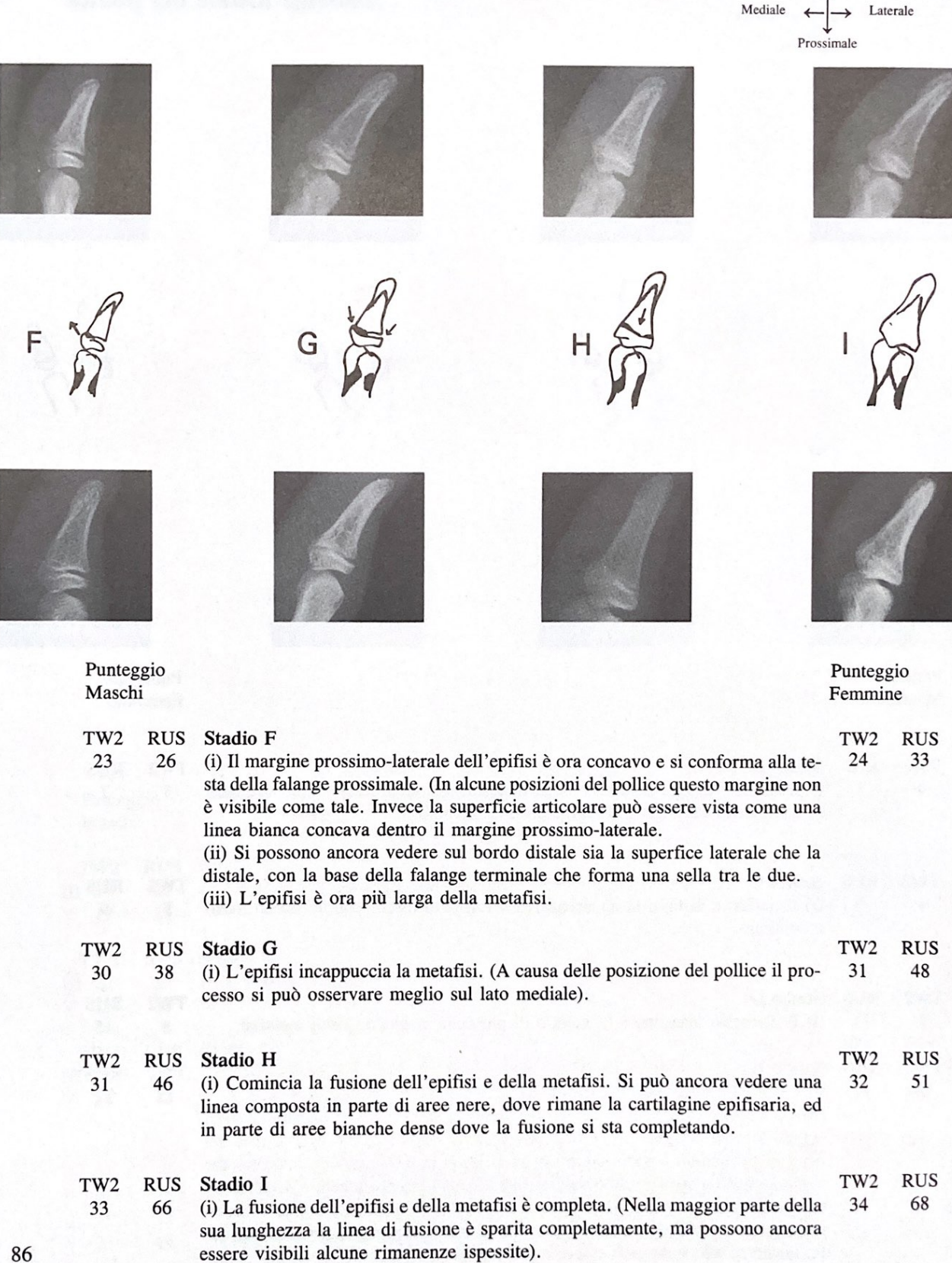


	1 dittoppio			Punteggio Femmine				
Masci	"							
TW2	RUS	Stadio F	TW2	RUS				
III 19	22	(i) L'epifisi è larga quanto la metafisi.	20	27 III				
V 19	23		20	28 V				
TW2	RUS	Stadio G	TW2	RUS				
III 22	32	(i) L'epifisi incappuccia la metafisi.	23	36 III				
V 21	32		22	35 V				
TW2	RUS	Stadio H	TW2	RUS				
III 23	43	(i) Comincia la fusione dell'epifisi e della metafisi. Ancora si vede una linea,	24	45 III				
V 22	42	in parte composta di aree nere dove rimane la cartilagine epifisaria, in parte di aree bianche dense dove la fusione si sta completando.		43 V				
TW2	RUS	Stadio I	TW2	RUS				
III 25	52	(i) La fusione dell'epifisi e della metafisi è completa. (Nella maggior parte della	25	52 III				
V 23	49	sua lunghezza la linea di fusione è interamente sparita, ma se ne possono ancora vedere alcuni residui ispessiti).		49 V				

Falange distale del pollice

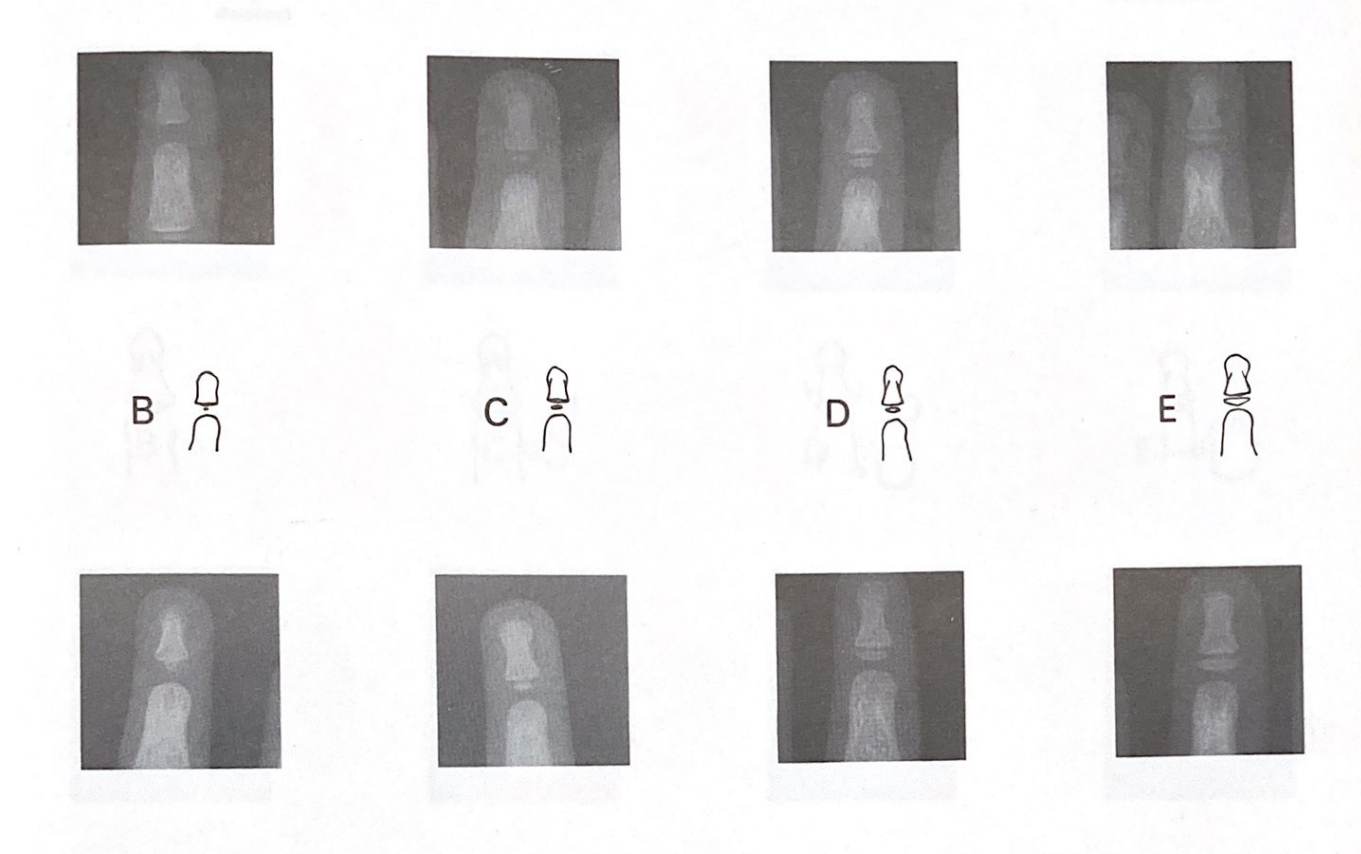


Falange distale del pollice



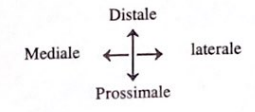
Distale

Falangi distali del terzo (III) e del quinto (V) dito



Punteggio Maschi				Punteggio Femmine		
TW2 III 3 V 3	RUS 4 5	Stadio B (i) Il nucleo è appena visibile come un deposito singolo di calcio, o più raramente come depositi multipli. Il margine è maldefinito.	TW2 3 3	7	III V	
TW2 III 4 V 4	RUS 6 6	Stadio C (i) Il nucleo è distinto in apparenza ed a forma di disco, con un bordo liscio e continuo.	TW2 4 4	8 8	III V	
TW2 III 6 V 7	RUS 8 9	Stadio D (i) Il diametro massimo è di metà o più della larghezza della metafisi.	TW2 6 7	RUS 11 11	S III V	
TW2 III 10 V 11	RUS 13 13	Stadio E (i) L'epifisi è larga come la metafisi. (ii) La porzione centrale del bordo prossimale è cresciuta verso la fine della falange media, così che il bordo prossimale non consiste più in una singola superficie convessa; non si possono ancora vedere, però, differenziazioni sulle superfici palmari e dorsali.			S III V	87

Flangi distali del terzo (III) e del quinto (V) dito



























Punteggio Maschi					Punteggio Femmine		
TIVO	RUS	Stadio F	TW2	RUS	3		
TW2	18	(i) Le superfici prossimali palmari e dorsali sono distinte, ed ognuna si è confor-	17	22	Ш		
III 16 V 16	18	mata all'articolazione trocleare come una proiezione prossimale alla linea bianca ispessita che rappresenta la superfice dorsale.	17	22	V		
TW2	RUS	Stadio G	TW2	RUS	S		
	28	(i) L'epifisi incappuccia la metafisi.	22	33	Ш		
III 21 V 20	27	(i) L'epinsi meappaceia la metanoi.	21	32	V		
TW2	RUS	Stadio H	TW2	RUS	S		
III 22	34	(i) Comincia la fusione dell'epifisi e della metafisi. (Si può ancora vedere una	23	37	Ш		
V 21	34	linea, composta in parte di aree nere, dove rimane la cartilagine epifisaria, in parte di aree bianche dove la fusione si sta completando).	22	36	V		
TW2	RUS	Stadio I	TW2	RUS	S		
III 24	49	(i) La fusione dell'epifisi e della metafisi è completa. (Nella maggior parte della	24	49	Ш		
V 23	48	sua lunghezza la linea di fusione è sparita completamente, ma sono ancora visibili alcune rimanenze ispessite).	23	47	V		